

PEVNOSTNÁ ANALÝZA SPOJKY POMOCOU ROVINNEJ A REFLEXNEJ FOTOELASTICIMETRIE

Ing. Elena Frollová
Jozef Kubovec

ZTS, kombinát VVÚ Martin

Pevnostná analýza obecného detailu "spojky" bola zameraná na kvalitatívne a kvantitatívne určenie napäťostí v spojovacom oku a v okách závesu spojených čapmi od pôsotenia statického zataženia. Experimentálna analýza napäťostí spojky s použitím rovinných fotoelasticimetrických modelov a priestorového kompozitného modelu s aplikáciou reflexnej fotoelasticimetrie bola doplnená kontrolným pevnostným prepočtom napäťostí nebezpečného príerezu telca spojky. Výstupné hodnoty nameraných napäť bolí pomocou rovníc modelovej podobnosti prepočítané na hodnoty pre skutočný detail.

II ROVINNÁ ANALÝZA NAPÄTOSTI

Metodika experimentu, výsledky experimentu

Rovinné modely spojky v 2 variantoch bolí vyrobené z optický citlivého materiálu typu PSM-1 o hrúbke $h = 6,35$ mm s optickou citlivosťou $K = 71,4 \text{ Ncm} \cdot \Delta$ (výrobok fy VISHAY, USA)

Veľkosť modelovej záťažejnej tahovej sily F_m bola stanovená prepočtom zo skutočného diela pomocou platných vzťahov zachovaním modelovej podobnosti.

Fotoelasticimetrické meranie napäťí na rovinných modeloch vonkajšieho a vnútorného tvaru spojky bolí realizované v polariiskope PP-16 (výrobok fy Meopta Bratislava). Hodnoty maximálnej koncentrácie napäťí v exponovaných miestach bolí určené súčinnou kompenzáciou.

Obraz priebehu izochromatických kriviek na rovinnom modeli vnútorného tvaru spojky s vyznačením počtu rádov je na obr. I. 1.

Obraz priebehu izochromatických kriviek na rovinnom modeli vonkajšieho tvaru spojky s vyznačením počtu rádov je na obr. I. 2.

Prepočtom modelovaných napäťí na napäcia pre skutočné dielo z podmienok modelovej podobnosti bola stanovená veľkosť napäťia na diele $G_d = 191 \text{ MPa}$. 4

Priebehy a veľkosť obvodových tangenciálnych napäťí v [MPa] prepočítaných na skutočné dielo na vnútornom tvare spojky je viďieť na obr. I. 3.

Priebehy a veľkosť obvodových tangenciálnych napäťí v [MPa] prepočítaných na skutočné dielo na vonkajšom tvare spojky je viďieť na obr. I. 4.

Pre určenie veľkosti jednotlivých normálnych napäťí σ_x a σ_y [MPa] boli okrem izochromatických kriviek merané veľkosti uklov izoklínnych kriviek v stanovených bodoch rezu A - A, pod ktorými jednotlivé napäťia pôsobia.

Podla podmienok rovnováhy v pravouhlých súradničiach x, y

$$\frac{\partial \sigma_x}{\partial x} + \frac{\partial \tau_{xy}}{\partial y} = 0$$

$$\frac{\partial \sigma_y}{\partial y} + \frac{\partial \tau_{xy}}{\partial x} = 0$$

bola výpočtom určená separácia jednotlivých normálnych napäťí na počítači HP 85 podľa metódy "rozdielu čmykových napäťí". Veľkosť jednotlivých normálnych napäťí σ_x a σ_y [MPa] v reze A - A sú viďieť na obr. I. 4.

Z výsledkov fotelasticimetrických meraní na rovinnom modeli vonkajšej časti spojky bol približne určený bezpečný prierez s maximálnou veľkosťou napäťia na jeho vnútornom obvode. Pre približné značnenie nameraných hodnôt bol určený za nasledovných predučiadov:

1. Čelec vonkajšej časti spoja je považované za silne zazrievaný príť
2. Pôsobisko záťaže sily je určené z priebehu izochromatických kriviek, smer sily je kolmý na kritický prierez

II ANALÝZA NAPÄTOSTI POMOCOU PRIESTOROVÉHO MODELU

Metodika experimentu, výsledky experimentu

Priestorový model spojky bol vyrobený z odliateho bloku z kompozitnej modelovej hmoty typu FRL-20 (výrobok fy VISHAY, USA) triedkovým obrábaním v mierke 1:2.

Na povrchové rovné plochy priestorového modelu boli nalepené optické snímače povrchových napäťí (deformácií) z opticky citlivých dosiek typu PS1-A (výrobok fy VISHAY, USA) o hrúbke 2 mm s materiálovou konštantou $f = 1\ 000 \text{ } \mu\text{m/m}$. Na získané plochy telesa spojky bola odliata opticky citlivá fólia typu FL-1 o hrúbke 2 mm s materiálovou konštantou $f = 2\ 300 \text{ } \mu\text{m/m}$. Táto bola na zakrivené plochy natvárovaná a prilepená reflexným cementom typu PC-1 + PCH-1 (výrobky fy VISHAY, USA).

Veľkosť modelovej záťaže sily pre zataženie kompozitného priestorového modelu telesa spojky bola stanovená výpočtom z podmienok modelovej podobnosti.

$$\frac{P_m}{P_d} = \frac{E_m}{E_d} \left(\frac{A_m}{A_d} \right)^2$$

Priestorový model spojky bol zatažený čistou farakovou silou $P_y = 5\ 500 \text{ N}$ v pulzátorze ZD 40 P.

Priestorový model spojky v zatažovaacom prípravku je vidieť na obr. II. 1.

Fotoelasticimetrické meranie napäťí na priestorovom modeli spojky bolo realizované v reflexnom polariskope M 330 s príslušným numerickým kompenzátorom M 232 (výrobky fy VISHAY, USA). V určených oblastiach bolo urobené bodové kompenzačné meranie s určením maximálnych hodnôt napäťí.

Pre výpočet modelového napätia platí:

$$(G_i - G_e)_m = N \cdot f \cdot \frac{E}{1 + \alpha}$$

Pre optický citlivú dosku PS 1-A ($f = 1\ 000 \text{ } \mu\text{m/m}$) a pre $N = 1$

bude:

$$(\sigma_s - \sigma_t)_m = 3,06 \text{ MPa}$$

Pre opticky citlivú a netvarovanú fóliu PL-1 ($f = 2300 \text{ m/m}$) a pre $N = 1$ bude:

$$(\sigma_s - \sigma_t)_m = 7,042 \text{ MPa}$$

Prepočtom modelového napäťia na napätie na skutočnom diele pre opticky citlivú dosku PS-1A a pre $N = 1$ bude:

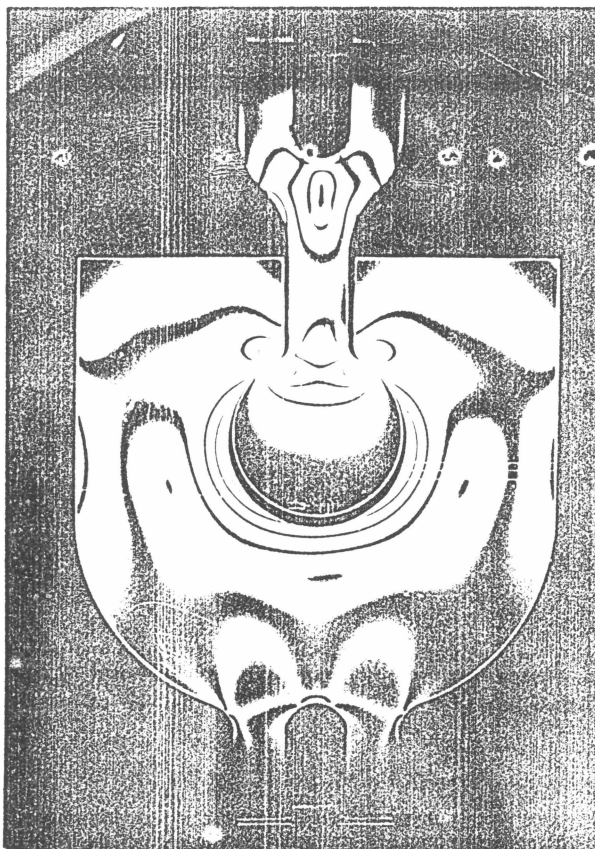
$$\sigma_d = 152 \text{ MPa}$$

a pre opticky citlivú fóliu PL-1 pre $N = 1$ bude:

$$\sigma_d = 350,6 \text{ MPa}$$

Priebeh izochromatických kružieb s vyznačením miest s maximálnou koncentráciu napäťí [MPa] v skutočnej veľkosti na prípravovom kompozitnom modeli spojky je vidieť na obr. III. 2.

Z celkového pevnostného rozsahu detailu spojky je možné určiť, že detail po pevnostnej záťahu je vyučovači pri výstavbe zatažení s ohľadom na mechanické vlastnosti materiálu.



Obr. I. 1. Isochromatické křivky na povrchovém modeli vlastního tvaru spalky

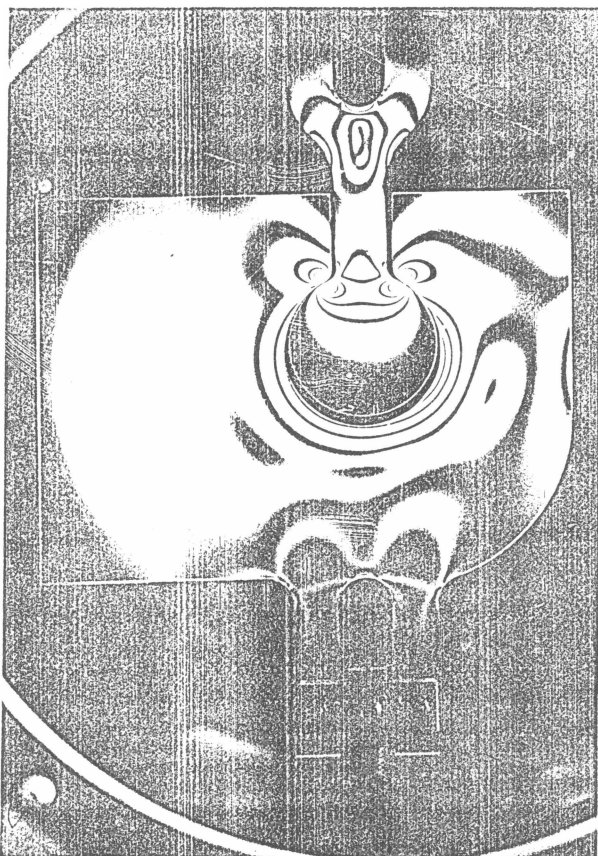
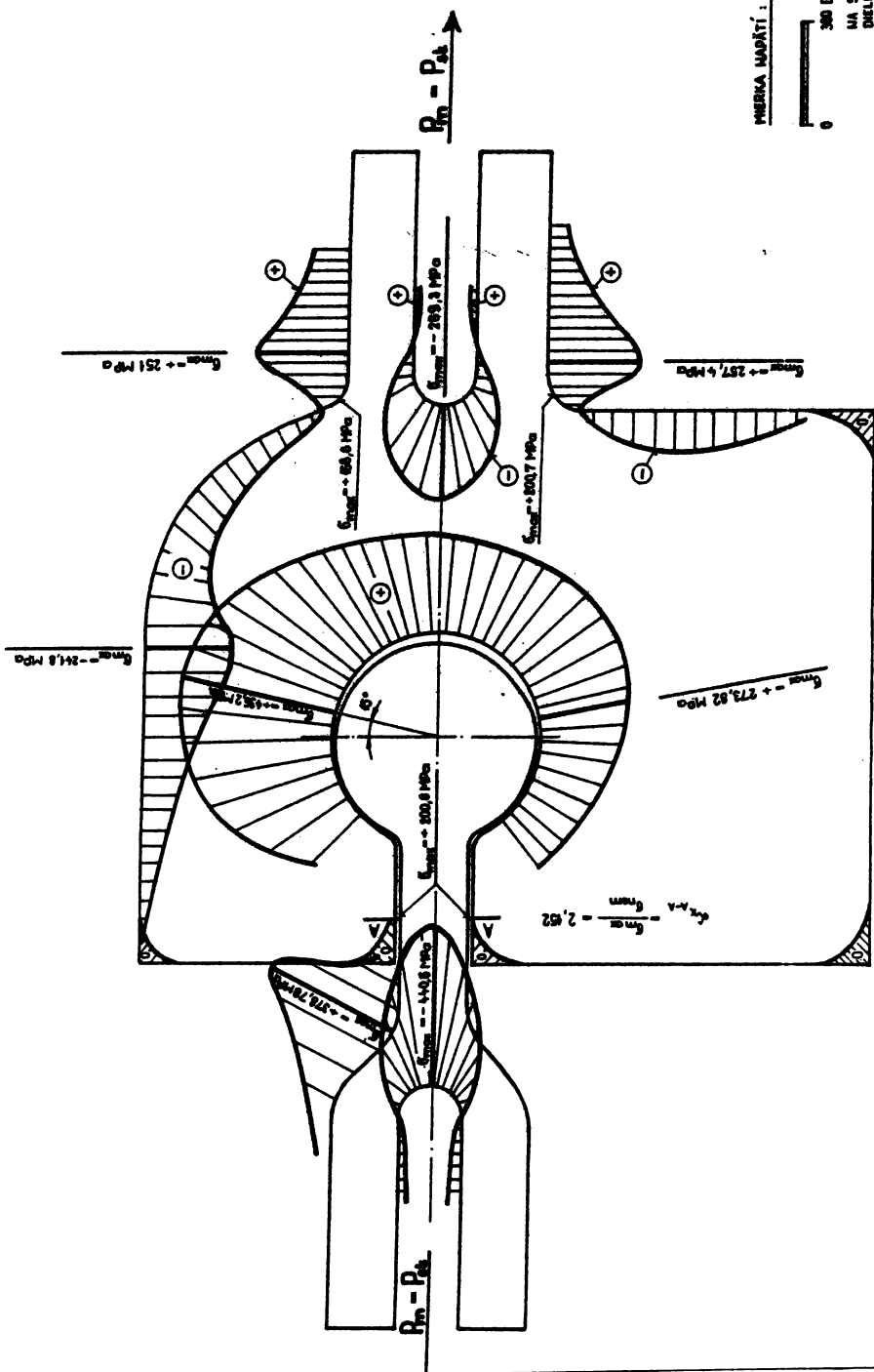
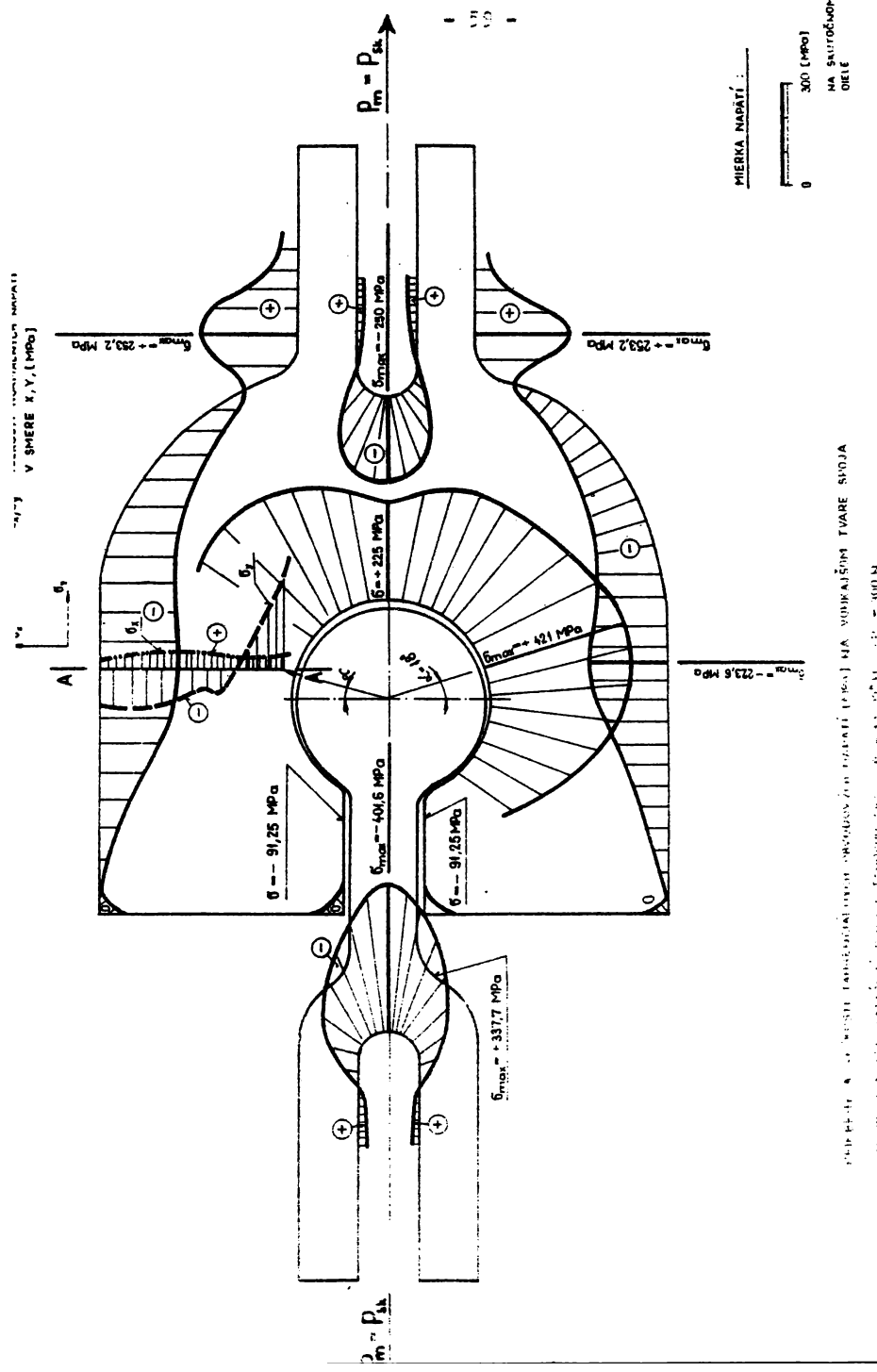


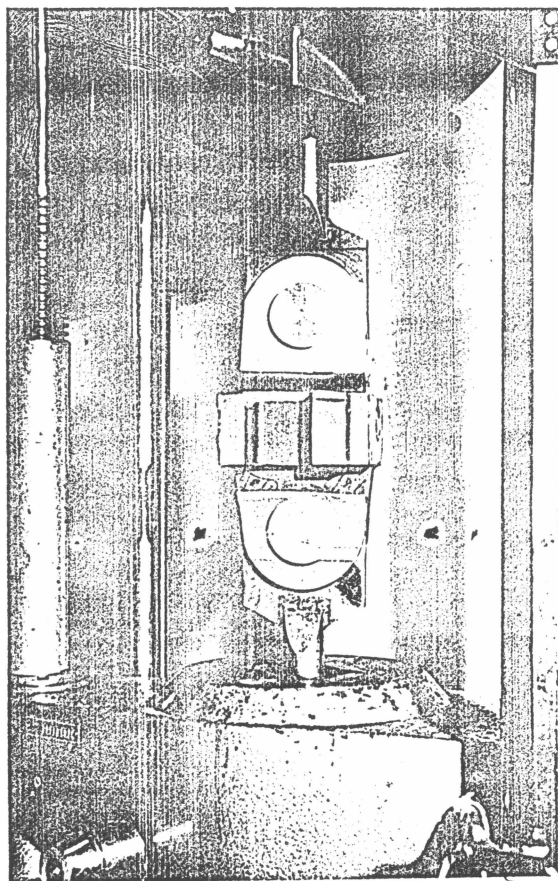
Fig. I. 2. Isometrický nákres na reviznou modeli vonkajšího
tváru spojky

MEDIANA NAPÄTIÍ:
300 [napäť]
NA SKUTOČNOM
DIELLE

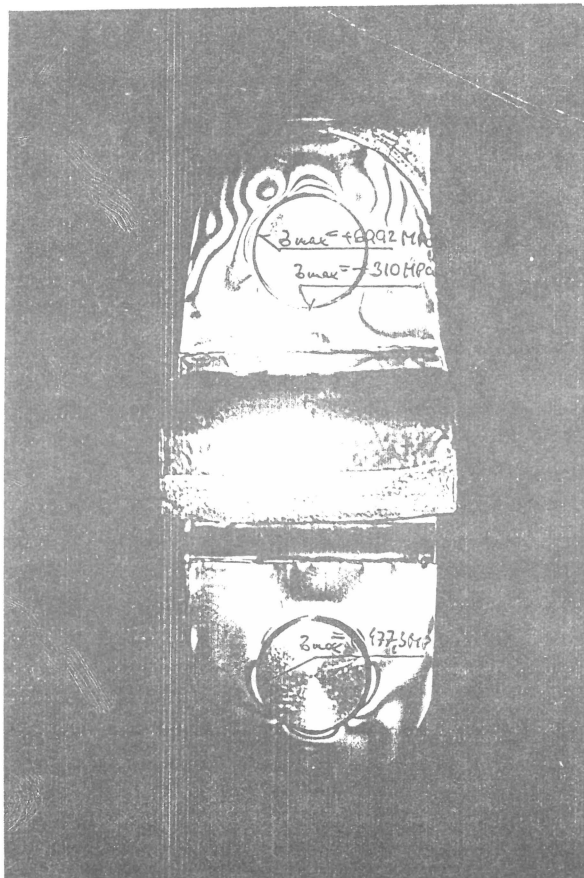


PRIEREDENÉ: TĚKOSTI TANGENCIALNÝCH OBNOVODOVÝCH NAPÄTIÍ [MPA] NA VNÚTORNOM TVARE ŠPÚJA
- RODINOVÝ MODEL ZAŽÁDENÝ OSOVOU TAHOVOU SILOU $P_A = 1,1 \cdot 10^4 \text{ N} \rightarrow P_m = 300 \text{ N}$





Obr. III. 1. Priestorový kompozitný model spojky v zaťažovacom prípravku



Obr. II. 2. Priebeh izochromatických kriviek s maximálnou velkosťou napäti [MPa] na priestorovom kompozitnom modeli spojky